

# Math-Net.Ru

Общероссийский математический портал

И. А. Ходашинский, П. А. Дудин, Идентификация нечетких систем на основе прямого алгоритма муравьиной колонии, *Искусственный интеллект и принятие решений*, 2011, выпуск 3, 26–33

Использование Общероссийского математического портала Math-Net.Ru подразумевает, что вы прочитали и согласны с пользовательским соглашением  
<http://www.mathnet.ru/rus/agreement>

Параметры загрузки:

IP: 3.128.172.121

14 сентября 2024 г., 09:21:28



# Идентификация нечетких систем на основе прямого алгоритма муравьиной колонии<sup>1</sup>

**Аннотация.** Рассмотрена нечеткая система типа сингтон. Предложен прямой алгоритм муравьиной колонии для идентификации таких систем. Работоспособность алгоритма идентификации подтверждена рядом имитационных экспериментов, в ходе которых менялись параметры алгоритма. Дан сравнительный анализ полученных результатов с аналогами.

**Ключевые слова:** идентификации нечетких систем, алгоритм муравьиной колонии.

## Введение

Широкое применение нечетких систем для решения проблем автоматического управления, прогнозирования, распознавания образов, принятия решений заставляет специалистов искать эффективные методы построения таких систем, для идентификации которых наряду с алгоритмами оптимизации, основанными на производных, применяются метаэвристики (чаще всего генетические алгоритмы) и нейронные сети. В последнее время для этих целей стали применяться алгоритмы муравьиной колонии (АМК). В работах [1-3] АМК использован для настройки нечетких правил при решении задачи построения нечеткого регулятора. В работе [4] задача обучения нечеткой системы моделирования сформулирована как комбинаторная проблема оптимизации и для ее решения применен модифицированный АМК. Совместное применение АМК и градиентного метода для идентификации нечетких систем представлена в работе [5]. Все перечисленные приложения основаны на традиционном АМК, ориентированном на решение комбинаторных проблем, связанных с поиском оптимальных путей на графе [6]. Однако идентификация нечетких систем относится к задачам оптимизации с не-

прерывно меняющимися параметрами, и применение классического АМК в силу его изначальной дискретной природы не всегда позволяет достичь заданной точности решения.

Было предложено несколько модификаций АМК для применения в непрерывной области [7-9]. Общий недостаток этих алгоритмов заключается в их неэффективной работе по сравнению с другими современными алгоритмами непрерывной оптимизации. Неэффективность эта во многом связана со сложностью манипулирования феромоном. В нашей работе рассматривается прямой алгоритм муравьиной колонии, предложенный в работе [10]. В отличие от других непрерывных алгоритмов в прямом АМК присутствует процедура непосредственного нанесения феромона, основанная на нормальном распределении.

Целью предлагаемой работы является описание применения прямого АМК для идентификации нечетких систем. Применение указанного алгоритма увеличивает точность нечеткого вывода.

## 1. Постановка задачи

Рассматривается нечеткая система типа сингтон,  $i$ -ое правило в которой имеет следующий вид:

<sup>1</sup> По материалам доклада, представленного на КИИ-2010. Работа выполнена при финансовой поддержке РФФИ (проект № 09-07-99008).

IF  $x_1=A_{1i}$  AND  $x_2=A_{2i}$  AND ... AND  $x_n=A_{ni}$   
THEN  $y = r_i$ ,

где  $A_{ij}$  — лингвистический терм, которым оценивается переменная  $x_i$ ;  $r_i$  — действительное число, которым оценивается выход  $y$ .

Нечеткая система осуществляет отображение  $f: \mathfrak{R}^n \rightarrow \mathfrak{R}$ :

$$f(x) = \frac{\sum_{i=1}^R \mu_{A_{1i}}(x_1) \cdot \mu_{A_{2i}}(x_2) \cdot \dots \cdot \mu_{A_{ni}}(x_n) \cdot r_i}{\sum_{i=1}^R \mu_{A_{1i}}(x_1) \cdot \mu_{A_{2i}}(x_2) \cdot \dots \cdot \mu_{A_{ni}}(x_n)}$$

где  $\mathbf{x}$  — входной вектор,  $R$  — число правил;  $n$  — количество входных переменных;  $\mu_{A_{ij}}$  — функция принадлежности, определяемая набором своих параметров, например, треугольная — тремя параметрами, трапециевидная — четырьмя, гауссова и параболическая — двумя.

Нечеткая система может быть представлена как

$$y = f(\mathbf{x}, \boldsymbol{\theta}),$$

где  $\boldsymbol{\theta} = \|\theta_1, \dots, \theta_N\|$  — вектор параметров,  $N = n \cdot$  (число параметров, описывающих одну функцию принадлежности)  $\cdot$  (число термов, описывающих одну входную переменную);  $y$  — скалярный выход системы.

Пусть дано множество обучающих данных (таблица наблюдений)  $\{(\mathbf{x}_p; t_p), p = 1, \dots, m\}$ , тогда среднеквадратическая функция ошибки, являющаяся численным критерием адекватности модели, вычисляется по следующей формуле:

$$E(\boldsymbol{\theta}) = \frac{\sum_{p=1}^m |t_p - f(\mathbf{x}_p, \boldsymbol{\theta})|}{m}.$$

Проблема идентификации сводится к проблеме поиска минимума заданной функции в многомерном пространстве, координаты которого соответствуют параметрам нечеткой системы. В силу того, что поверхность поиска в указанном пространстве имеет сложный рельеф, методы поиска, основанные на производных, здесь не всегда эффективны. Для решения проблемы минимизации предлагается использовать прямой алгоритм муравьиной колонии [10].

## 2. Прямой алгоритм муравьиной колонии

В прямом алгоритме муравей отвечает за вычисление значений закрепленного за ним параметра, поэтому муравьев в алгоритме столько, сколько параметров нечеткой модели. Каждый  $i$ -ый муравей создает свое решение, генерируя нормально распределенное действительное число  $N(\mu_i, \sigma_i)$ . В алгоритме используются два вида феромонов: первый связан с центрами нормальных распределений  $\boldsymbol{\mu} = \|\mu_1, \dots, \mu_N\|$ , второй с разбросом  $\boldsymbol{\sigma} = \|\sigma_1, \dots, \sigma_N\|$ . Количество феромона определяет значения параметров  $\boldsymbol{\mu}$  и  $\boldsymbol{\sigma}$ . Для каждого параметра  $\theta_j$  задан интервал изменения  $[a_j, b_j]$ , где  $b_j$  и  $a_j$  — верхняя и нижняя граница параметра  $\theta_j$ .

В качестве начальных значений для параметров  $\boldsymbol{\mu}$  используются заданные случайным или иным способом значения параметров  $\boldsymbol{\theta}$ . Начальные значения параметров  $\boldsymbol{\sigma}$  вычисляются по следующей формуле:

$$\sigma_i = \frac{b_i - a_i}{2}.$$

После того как муравьи нашли решения, определяется испарение феромона. Для текущей  $t$ -ой итерации испарение определяется следующим образом:

$$\boldsymbol{\mu}(t) = (1 - \rho) \boldsymbol{\mu}(t-1), \quad \boldsymbol{\sigma}(t) = (1 - \rho) \boldsymbol{\sigma}(t-1),$$

где  $\rho$  — эмпирический коэффициент испарения феромона, заданный на интервале  $[0, 1]$ .

Далее происходит нанесение феромона:

$$\boldsymbol{\mu}(t) = \boldsymbol{\mu}(t) + \rho \boldsymbol{\theta}(t), \quad \boldsymbol{\sigma}(t) = \boldsymbol{\sigma}(t) + \rho |\boldsymbol{\theta}(t) - \boldsymbol{\mu}(t)|,$$

где  $\boldsymbol{\theta}(t)$  — решение найденное муравьиной колонией на текущей итерации, оно совпадает с глобальным лучшим решением.

Особенностью прямого АМК является включение в него простейшего локального поиска, состоящего из двух этапов: на первом значение параметра  $\theta_j$  увеличивается с определенным шагом до значения  $\theta_j + d_j$ , на втором этапе значение параметра уменьшается с определенным шагом до значения  $\theta_j - d_j$ . Значение  $d_j$  определяется по формуле:

$$d_j = \sigma_j \text{ rand},$$

где  $\text{rand}$  — случайное равномерно распределенное число в интервале  $[0, 1]$ .

Шаг вычисляется по следующей формуле:

$$st_j = d_j / K,$$

где  $K$  — целое число, отвечающее за вычисление значения шага.

В результате локального поиска определяется новый вектор параметров  $\theta$ . Значения этих параметров передаются в нечеткую систему в качестве новых значений параметров. Вычисляется ошибка и лучшее решение текущего шага. Глобальное лучшее решение запоминаются.

Для решения задачи оценки параметров необходима проверка изменения параметра  $\theta_j$  на ограничения, накладываемые нечеткой системой. К таким ограничениям относится покрытие всей области определения термов, описывающих входную переменную, и упорядоченность пиков функций принадлежности.

Для преодоления локальных минимумов в алгоритме используется обновление параметров  $\sigma$ . С этой целью введен параметр конвергенции, вычисляемый по следующей формуле:

$$cf = \frac{\sum_{j=1}^N \frac{2\sigma_j}{b_j - a_j}}{N}.$$

Когда алгоритм приближается к локальному минимуму, коэффициент конвергенции  $cf$  приближается к 0. Как только коэффициент конвергенции становится меньше критического значения  $cf_r$ , то вектор  $\sigma$  возвращается в начальное состояние.

Ниже приведен собственно алгоритм для идентификации параметров нечеткой модели:

**Шаг 1.** Сгенерировать  $N$  муравьев, инициализировать для них начальные параметры. Сделать текущим первого муравья.

**Шаг 2.** Для текущего муравья вычислить значение параметра  $d_i$ , вычислить шаг  $st_i$ .

**Шаг 3.** Для текущего  $i$ -го муравья, увеличить значение параметра  $\theta_i$  на величину шага до  $\theta_i + d_i$ . Проверить полученное и будущее значения на ограничения, накладываемые нечеткой системой. Если проверки допускают данное изменение, то вычислить ошибку.

**Шаг 4.** Аналогично шагу 3, но уменьшать до значения  $\theta_i - d_i$ .

**Шаг 5.** В качестве нового значения параметра  $\theta_i$  выбрать значение, дающее наименьшую ошибку.

**Шаг 6.** Если есть следующий муравей, то сделать его текущим и перейти на Шаг 2.

**Шаг 7.** Для всей колонии муравьев выполнить операции испарения и нанесения фермента.

**Шаг 8.** Если  $cf < cf_r$ , то вернуть вектор параметров  $\sigma$  в начальное состояние.

**Шаг 9.** Если условие окончания работы алгоритма выполнено, то КОНЕЦ, иначе сделать текущим первого муравья и перейти на шаг 2.

Условием окончания работы алгоритма является выполнение определенного числа итераций или достижение ошибки меньше заданной.

### 3. Описание эксперимента

Нечеткая система формировалась на основе треугольных функций принадлежности. Исследование алгоритма проводилось при решении задач аппроксимации. В качестве тестовых были выбраны следующие пять функций:

- 1)  $f(x_1, x_2) = x_1 * \sin(x_2)$ ,  $-\pi/2 < x_1, x_2 < \pi/2$ ;
- 2)  $f(x_1, x_2) = \sin(2x_1/\pi) * \sin(2x_2/\pi)$ ,  $-5 < x_1, x_2 < 5$ ;
- 3)  $f(x) = (1 + 10 \exp(-100(x - 0,7)^2))$ .

$$\left( \frac{\sin\left(\frac{125}{x+1,5}\right)}{x+0,1} \right), 0 < x < 1;$$

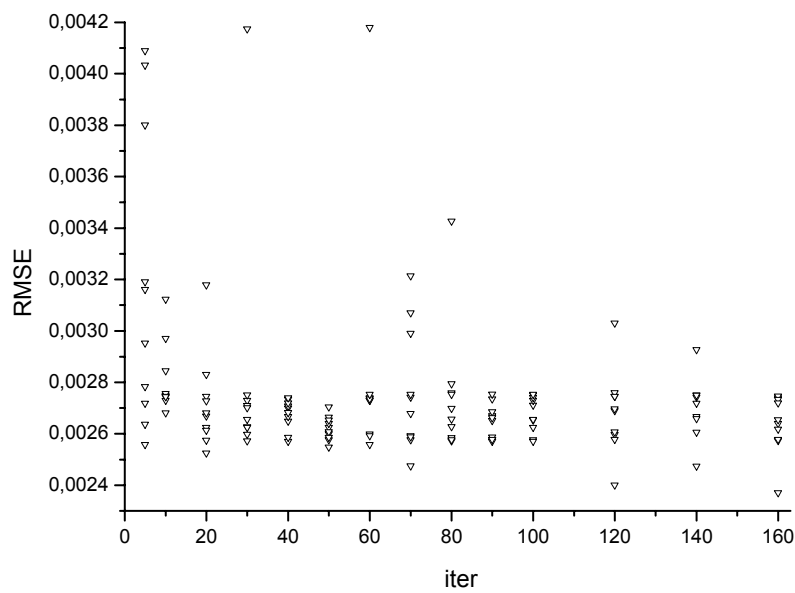
- 4)  $f(x_1, x_2) = (1 + x_1^{-2} + x_2^{-1,5})^2$ ,  $x_1, x_2 \in [1, 5]$ ;
- 5)  $f(x_1, x_2, x_3) = 1 + x_1^{0,5} + x_2^{-1} + x_3^{-1,5}$ ,  $x_1, x_2, x_3 \in [1, 5]$ .

На основе тестовой функции формировалась таблица наблюдений, по которой строилась нечеткая система, аппроксимирующая данную функцию. Критерием качества аппроксимации была среднеквадратическая ошибка вывода (RMSE).

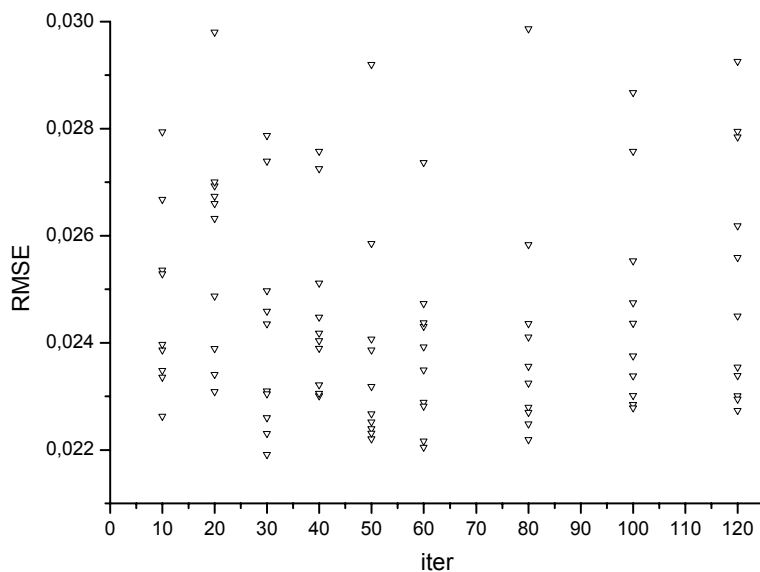
### 4. Исследование прямого алгоритма

В процессе исследования прямого алгоритма изменялись следующие параметры алгоритма: число итераций, константа  $K$  и параметр  $\rho$ . Для фиксированной группы параметров проводилось десять испытаний.

Эксперимент показал, что точность решения не зависит от числа итераций (Рис.1). Лучшие решения (малые ошибки) появляются при числе итераций 10...20.



а) функция 2



б) функция 3

Рис. 1. Зависимость среднеквадратической ошибки от значения числа итераций ( $\rho=0,95$ ;  $K=20$ )

На Рис. 2 приведены распределения среднеквадратической ошибки в зависимости от значения константы  $K$ . При аппроксимации первой функции наблюдается уменьшение ошибки с ростом константы  $K$  до значения равного 60, дальнейшее увеличение данного параметра не приводит к существенному уменьшению ошибки. При аппроксимации четвертой функции зависимость ошибки от значения константы  $K$  не наблюдается.

На Рис. 3 приведены распределения среднеквадратической ошибки в зависимости от значения константы  $\rho$ . При аппроксимации первой функции с увеличением константы  $\rho$  до значения 0,975 ошибка вывода уменьшается на четыре порядка, при дальнейшем увеличении константы до 1 ошибка возрастает на три порядка.

Эксперименты показали, что увеличение числа итераций и значения константы  $K$  не исключает попадание в локальный экстремум.

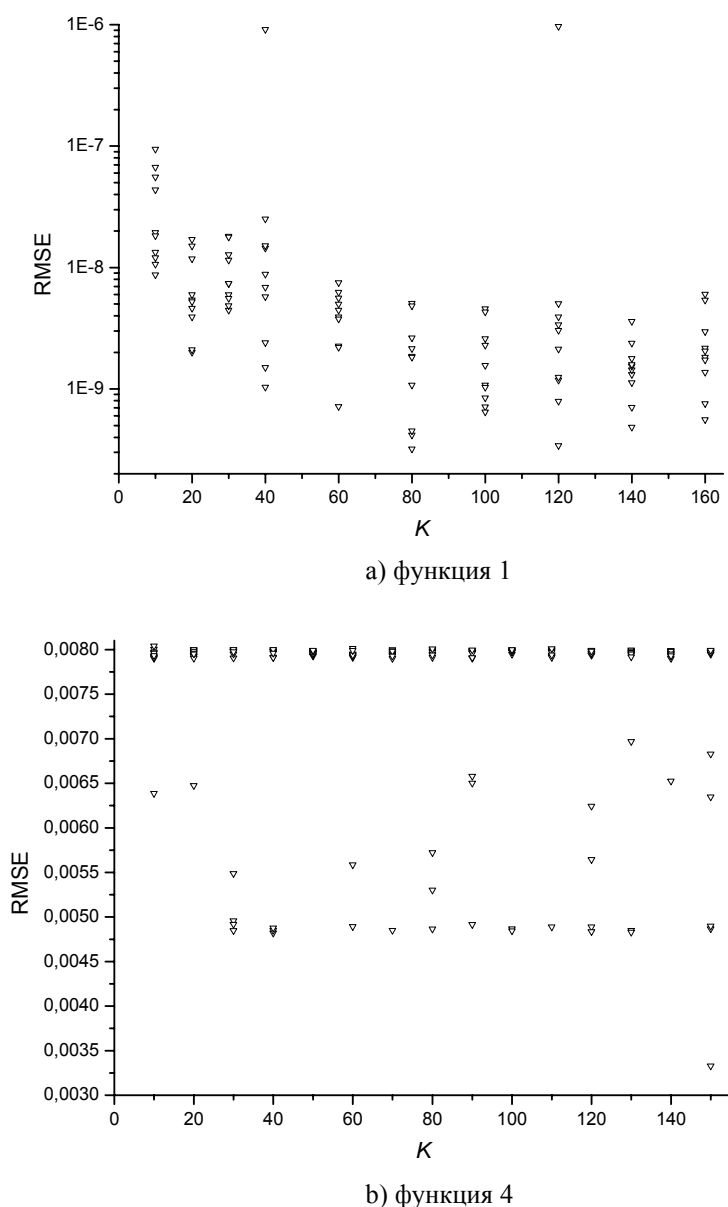


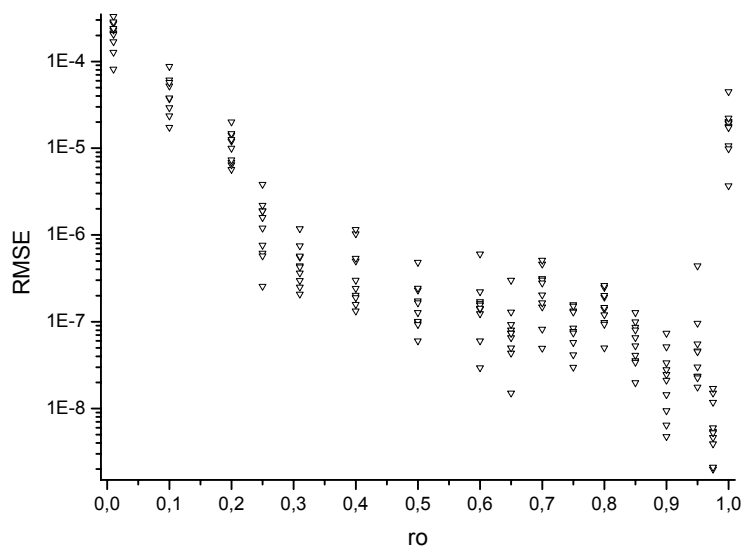
Рис. 2. Зависимость среднеквадратической ошибки от значения константы  $K$  ( $\rho=0,7$ ; 20 итераций)

Особенно ярко это проявляется при аппроксимации четвертой функции (Рис. 2, b), когда половина и больше испытаний при фиксированных параметрах алгоритма не привели к изменению ошибки.

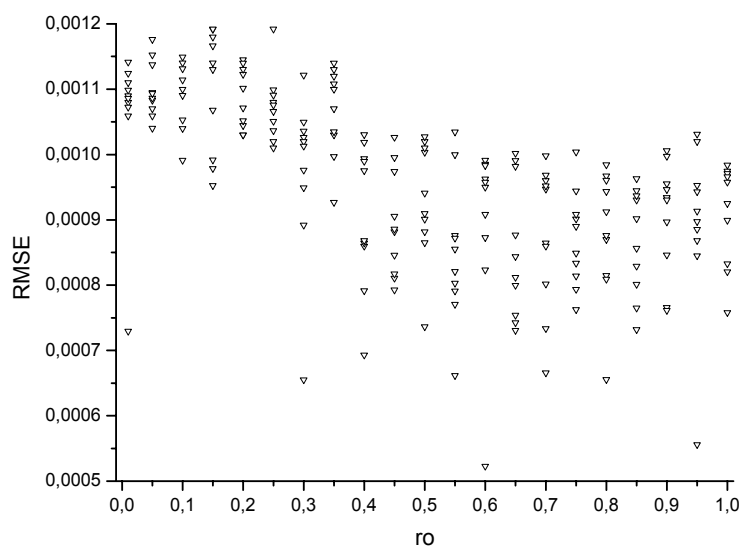
Компьютерный эксперимент позволил установить, что зависимость времени вывода от числа итераций и от значения константы  $K$  носит линейный характер. В Табл. 1 приведены некоторые регрессионные модели зависимости условного времени идентификации от числа

итераций и от значения константы  $K$ . В скобках указаны квадраты коэффициентов корреляции  $R^2$  как мера точности полученных зависимостей.

Приведенные регрессионные уравнения увеличивают информативность экспериментальных результатов и позволяют установить тенденцию изменения времени в зависимости от числа итераций работы алгоритма и от значения константы  $K$ .



а) функция 1



б) функция 5

Рис. 3. Зависимость среднеквадратической ошибки от значения константы  $\rho$  (15 итераций,  $K = 30$ )Табл. 1. Зависимость условного времени от числа итераций и значения константы  $K$ 

Номер функции	Число входных переменных	Число точек в таблице наблюдений	Число термов, представляющих входную переменную	Время от числа итераций	Время от значения константы $K$
1	2	81	5	$-0,2866 + 0,57745*iter$ ( $R^2=0,994791$ )	$-1,2616 + 0,88896*K$ ( $R^2=0,998277$ )
2	2	121	5	$-1,7901 + 1,1539*iter$ ( $R^2=0,998437$ )	$0,61433 + 0,75113*K$ ( $R^2=0,995768$ )
3	1	100	12	$-0,4388 + 0,34515*iter$ ( $R^2=0,999283$ )	$-0,1575 + 0,55274*K$ ( $R^2=0,998681$ )
4	2	121	5	$-3,2667 + 1,31*iter$ ( $R^2 = 0,994517$ )	$1,13333 + 0,8525*K$ ( $R^2 = 0,997443$ )
5	3	216	4	$-2,1111 + 3,9556*iter$ ( $R^2 = 0,998363$ )	$-0,171 + 1,9955*K$ ( $R^2 = 0,99837$ )

## 5. Сравнение разработанного алгоритма с аналогами

Для сравнения разработанного алгоритма с существующими подходами построения нечетких моделей было проведено исследование результатов аппроксимации нескольких нелинейных функций. В силу того, что прямой АМК в представленной реализации оптимизирует только antecedentes правил, нами был включен в цикл идентификации метод наименьших квадратов (МНК) для настройки консеквентов правил [11].

Аппроксимации третьей тестовой функции проводилась на 12 правилах, как в нашей работе, так и в аналогах. В работе [12] для алгоритма Mitaim и Kosko ошибка аппроксимации составила 1,426, для алгоритма Lisin и Gennert – 0,247, для прямого АМК+МНК – 0,0206. На Рис. 4 представлены значения параметров шести первых термов функций принадлежности и их общий вид.

Настройка нечетких моделей разработанным алгоритмом и аналогами для аппроксимации четвертой тестовой функции производилась по таблице наблюдений, состоящей из 400 строк. В Табл. 2 представлены результаты работы прямого АМК+МНК и алгоритмов, описанных в работе [13]. Как видно из таблицы, представленный в нашей работе алгоритм намного превосходит аналоги.

Табл. 2. Результаты аппроксимации функции 4

Алгоритм	Количество правил	RMSE
Rojas, Pomares, Ortega, Prieto,	9	0,146
	16	0,051
	25	0,026
	36	0,017
Teng, Wang, Chiu	4	0,016
прямой АМК + МНК	9	0,00391
	16	0,00302
	25	0,00189
	36	0,000219

На Рис. 5 представлены вид и значения параметров функций принадлежности нечеткой системы, аппроксимирующей четвертую тестовую функцию.

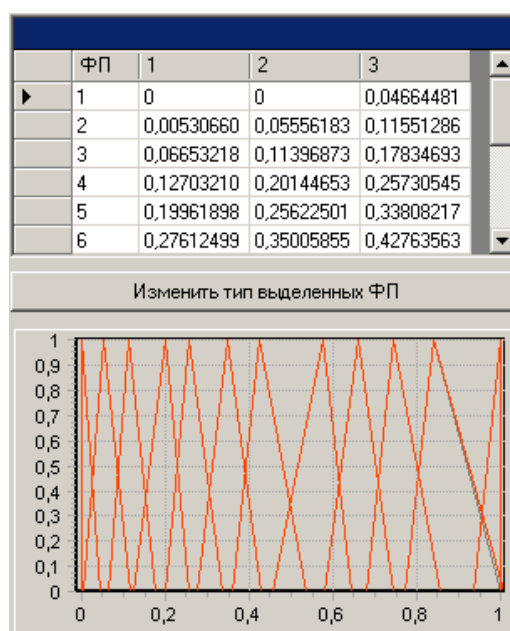


Рис. 4. Функции принадлежности для аппроксимации функция 3

При аппроксимации пятой тестовой функции идентификация нечеткой системы разработанным алгоритмом и аналогом проводилась на таблице наблюдений, состоящей из 216 строк. В [14] эта работа выполнялась адаптивным алгоритмом роящихся частиц с 9 правилами, ошибка составила 0,00243. Прямой АМК + МНК на 27 правилах позволил уменьшить ошибку до 4,93E-06.

## Заключение

В настоящей работе предложен новый подход к идентификации нечетких систем, основу которого составляет прямой алгоритм муравьиной колонии, оптимизирующий параметры antecedents нечетких правил. Консеквенты правил настраиваются методом наименьших квадратов. Имитационные эксперименты и сравнительный анализ с аналогами показали, что у предложенного алгоритма есть преимущества перед другими методами параметрической идентификации нечетких систем.

## Литература

1. Juang C.-F., Lu C.-M. Ant Colony Optimization Incorporated With Fuzzy Q-Learning for Reinforcement Fuzzy Control // IEEE Transactions Systems, Man, and Cybernetics. PART A. 2009. Vol. 39, No. 3. P. 597-608.



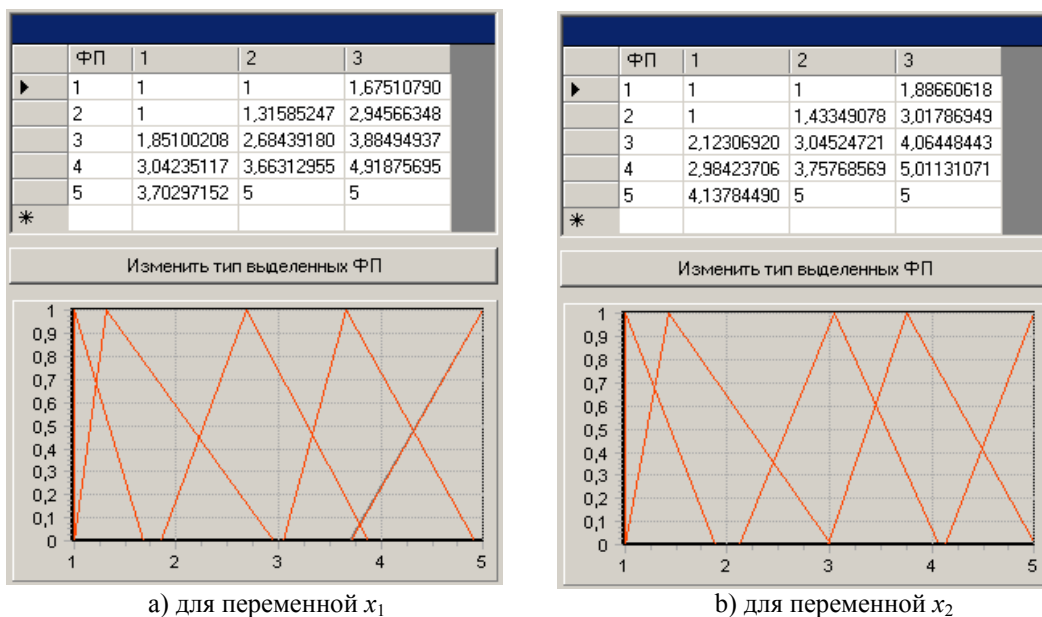


Рис. 5. Функции принадлежности для аппроксимации функция 4

- Tao C.-W., Taur J.-S., Jeng J.-T., Wang W.-Y. A Novel Fuzzy Ant Colony System for Parameter Determination of Fuzzy Controllers // International Journal of Fuzzy Systems. 2009. Vol. 11, No. 4. P. 298-307.
- Juang C.-F., Lo C. Fuzzy systems design by clustering-aided ant colony optimization for plant control // International Journal of General Systems. 2007. Vol. 36, No. 6. P. 623-641.
- Casillas J., Cordon O., Fernandez de Viana I., Herrera F. Learning Cooperative Linguistic Fuzzy Rules Using the Best-Worst Ant System Algorithm // International Journal of Intelligent Systems. 2005. Vol. 20. P. 433-452.
- Ходашинский И.А., Дудин П.А. Параметрическая идентификация нечетких моделей на основе гибридного алгоритма муравьиной колонии // Автометрия. Том 44, № 5, 2008. С. 24-35.
- Dorigo M., Maniezzo V., Colomi A. Ant System: Optimization by Colony of Cooperating Agents // IEEE Transaction Systems, Man and Cybernetics. Part B. 1996. Vol. 26. P. 29-41.
- Monmarche N., Venturimi G., Slimane M. On how Pachycondla apicalis ants suggest a new search algorithm // Future Generation Computer System. Vol. 16. 2000. P. 937-946.
- Tsutsui S. Ant Colony Optimization for Continuous Domain with Aggregation Pheromones Metaphor / Proc. 5th International Conference on Recent Advances in Soft Computing, 2004. P. 207-212.
- Tfaily W., Dreoj J., Siarry P. Fitting of an Ant Colony approach to Dynamic Optimization through a new set of test functions // International Journal of Computational Intelligence Research. 2007. Vol.3, No.3. P. 203-216.
- Kong M., Tian P. Application of ACO in Continuous Domain / Advances in Natural Computation, Second International Conference, ICNC 2006, Xian, China, September 24-28, 2006. Proceedings, Part II, LNCS 4222. Berlin, Springer-Verlag, 2006. P. 126-135.
- Ходашинский И.А., Гнездилова В.Ю., Дудин П.А., Лавыгина А.В. Основанные на производных и метаэвристические методы идентификации параметров нечетких моделей / Труды VIII международной конференции "Идентификация систем и задачи управления" SICPRO '08. Москва, 26-30 января 2009 г. Институт проблем управления им. В.А. Трапезникова РАН. – М.: Институт проблем управления им. В.А. Трапезникова РАН. 2009. – С. 501-529.
- Lisin D., Gennert M. A. Optimal Function Approximation Using Fuzzy Rules // Proc. 18th Int. Conf. North American Fuzzy Information Processing Society. – 1999. – P. 184-188.
- Teng Y.-W., Wang W.-J., Chiu C.-H. Function approximation via particular input space partition and region-based exponential membership functions // Fuzzy Sets and Systems. 2004. Vol. 142. P. 267-291.
- Aliyari M., Teshnehlab M. Sh., Sedigh A. K. Novel Hybrid Learning Algorithms for Tuning ANFIS Parameters Using Adaptive Weighted PSO // IEEE International Conference on Fuzzy Systems. – 2007. – P. 111-116.

**Ходашинский Илья Александрович.** Старший научный сотрудник, профессор кафедры автоматизации обработки информации Томского государственного университета систем управления и радиоэлектроники. Окончил Новосибирский электротехнический институт в 1975 году. Доктор технических наук. Автор 87 печатных работ, двух монографий. Область научных интересов: вычислительный интеллект, метаэвристики. E-mail: [hodashn@rambler.ru](mailto:hodashn@rambler.ru)

**Дудин Павел Анатольевич.** Аспирант кафедры автоматизации обработки информации Томского государственного университета систем управления и радиоэлектроники. Окончил Томский государственный университет систем управления и радиоэлектроники в 2008 году. Автор 18 печатных работ. Область научных интересов: нечеткие системы, алгоритмы муравьиной колонии. E-mail: [dudinpa@yandex.ru](mailto:dudinpa@yandex.ru)